

## (245) 転炉のスラグ中 T.Fe におよぼす底吹搅拌ガス量の影響

神戸製鋼所 中央研究所 ○ 片桐 望

**1. 緒言：** 上下吹転炉プロセスの最適化を図るために、底吹搅拌がスラグ中 T.Fe や P, S, Mn の分配比におよぼす影響を定量的に評価する必要がある。P, S, Mn の分配比については既に報告<sup>1)</sup>したので、ここでは LD 転炉をベースとした統計解析によって T.Fe におよぼす底吹搅拌の効果を評価した。

**2. 底吹ガス量と T.Fe の関係：** 当社の 90t, 240t LD 転炉の T.Fe の重回帰分析によって得られた式を(1)式に示す。これには、上吹搅拌エネルギーの項が入っていないが、重相関係数 R = 0.77 と十分有意な式となっている上、次に示すように  $\log V$ ,  $\log [\%C]$  の係数をほぼ意味づけることができたので、(1)式で T.Fe の  $[\%C]$ , 温度, V 依存性は記述できていると判断した。底吹ガス量  $Q_B$  の T.Fe におよぼす影響は、実績 T.Fe の値をもとに、(1)式を用いて  $[\%C] = 0.1$ ,  $T = 1923K$ ,  $V = 3.5$  に補正された T.Fe 値を用いて評価した。その結果を Fig. 1 に示す。同図より T.Fe は  $\log Q_B$  の増大に伴なって直線的に減少することが判明し、(2)式を得た。この結果は、甲斐<sup>2)</sup>らによる 75t 上下吹転炉実験の結果とよく一致している。

$$\log (\%T.Fe) = 8087/T - 0.1687 \log [\%C] + 0.9388 \log V - 1.050 \quad (1)$$

$$(\%T.Fe) = \exp((8087/T - 0.1687 \log [\%C] + 0.9388 \log V - 1.050) \times 2.303) - 4.0 \log Q_B - 6.9 \quad (2)$$

**3. 考察**

**3.1  $\log V$  の係数について：** 等 aFeO 線図より aFeO = 0.5 一定の場合の V と FeO の関係を読み取って  $\log FeO \propto 0.85 \log V$  の関係を得た。この係数は(1)式の 0.9388 とよく一致している。

**3.2  $\log [\%C]$  の係数について：** 甲斐<sup>2)</sup>らによる  $[\%C]$  と  $[\%O]$  の関係を図より読み取り、 $\log - \log$  プロットした結果を Fig. 2 に示す。同図より傾きは LD で -0.47, LD-AB で -0.49, LD-OB で -0.55, Q-BOP で -0.48 と極めて -0.5 に近い値になっていることが判明した。これは、 $[\%C] \cdot [\%O] = \text{一定}$  ではなく、 $\log [\%O] \propto -0.5 \log [\%C]$ 、即ち  $[\%C] \cdot [\%O]^2 = \text{一定}$  の形で  $[\%O]$  を記述できることを意味する。この理由は不明であるが、これと等 aFeO 線図より得られる、 $V = 3.0$ ,  $FeO = 20\%$  近傍における関係<sup>1)</sup>  $\log T.Fe \propto 0.55 \log aFeO$  より  $\log [\%C]$  の係数として  $-0.5 \times 0.55 = -0.275$  を得る。これは、概略 -0.1687 と一致している。

**3.3 底吹による冶金特性の変化：** P, S, Mn の分配比に関する既報<sup>1)</sup>の式と(2)式を用いて  $Q_B$  と T.Fe, Lp, Ls, LMn の関係を求めた。その結果を Fig. 3 に示す。 $Q_B$  の増大によって T.Fe が減少し、その結果として Lp, LMn は減少し、Ls は増大する。

**4. 結言：** 各種製鋼プロセスのデータを統計解析することによって  $Q_B$  と T.Fe の関係式を得た。得られた式は P, S, Mn の分配に関する既報<sup>1)</sup>の式と組合せて、広範囲の  $Q_B$  にわたって転炉プロセスの設計に用いられる。〔記号〕 (%T.Fe) : スラグ中全鉄分濃度, T : 温度 K, V = (CaO)/(SiO<sub>2</sub>),  $Q_B$  : 底吹ガス量 (Nm<sup>3</sup>/t·min),  $L_p = (\%P_2O_5)/[\%P]$ ,  $L_{Mn} = (\%MnO)/[\%Mn]$ ,  $L_s = (\%S)/[\%S]$

〔文献〕 1) 成田ら：学振 19 委-10514, (1983), 2) 甲斐ら：鉄と鋼, 68(1982), p. 1946

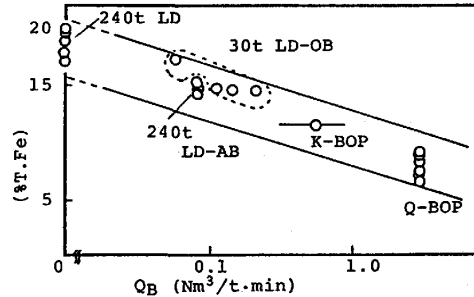


Fig. 1 Change in (%T.Fe) with bottom gas flow rate. ( $[\%C] = 0.1, T = 1923K, V = 3.5$ )

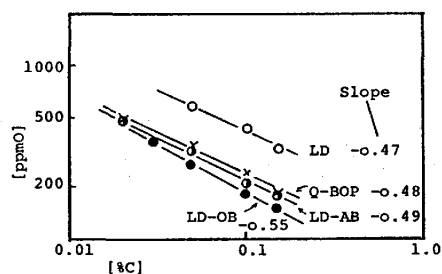


Fig. 2 Relation between [%C] and [ppmO]

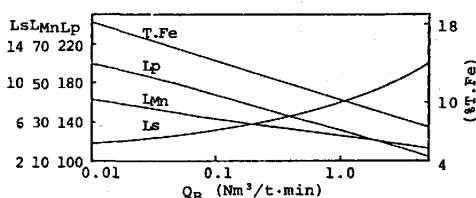


Fig. 3 Change in (%T.Fe), Lp, Ls, LMn with bottom gas flow rate. ( $[\%C] = 0.1, T = 1923K, V = 3.5$ )